

تأثیر ذرات زیرکونیا بر سنتز کامپوزیت مولایت- زیرکونیا به روش هیدروترمال

وحید نوری، جعفر جوابپور، حمیدرضا صمیم، حمید دامن^{-خورشید}
v.nouri7@gmail.com

دانشکده مهندسی مواد و متالورژی، دانشگاه علم و صنعت ایران

چکیده:

این تحقیق با هدف بررسی اثر ذرات زیرکونیا بر تحولات فازی و ریزساختاری پودر کامپوزیتی مولایت- زیرکونیای سنتز شده به روش هیدروترمال انجام گرفته است. پودر مولایتی خالص با استفاده از کلرید آلمینیم و ترااتیل اورتوسیلیکات به عنوان منبع تأمین سل سیلیسی تهیه شد. برای تهیه پودر کامپوزیتی مولایت- (۲۰٪ وزنی زیرکونیا) نیز از کلرید زیرکونیم به عنوان منبع تأمین زیرکونیا استفاده شد. فرآیند هیدروترمال برای هر دو نمونه در شرایط یکسان^۱ ۱۵bar و مدت زمان ۲۰ ساعت انجام شد. نمونه‌های سنتز شده بعد از خشک شدن در ۸۰°C به مدت ۲۴ ساعت، در محدوده دماهی ۶۰۰-۱۴۰۰°C به مدت ۲ ساعت کلینین شدند. ویژگی پودرهای سنتز شده به کمک روش‌های SEM، XRD، DTA/TGA و EDS مورد بررسی قرار گرفت. نتایج آنالیز پراش اشعه ایکس (XRD) نشان می‌دهد که فاز مولایت ۳۲۲، از طریق فاز ۶-آلومینای نوع اسپینل میانی، در نمونه کامپوزیتی در دماهی کلینیناسیون ۱۳۰۰°C و در نمونه مولایتی خالص در دماهی کلینیناسیون ۱۴۰۰°C تشكیل می‌شود. نتایج آنالیز حرارتی (DTA/TGA) محدوده دماهی تشكیل فاز مولایت بدست آمده از آنالیز XRD را تأیید می‌کند. در پودر کامپوزیتی ذرات زیرکونیا عامل جلوگیری از رشد کریستالهای فاز اسپینل و کاهش دماهی تشكیل مولایت شناخته شد. مقایسه اندازه متوسط کریستالی فاز اسپینل دو نمونه، که با روش شرمناسبه شده است، این امر را تأیید می‌کند. متوسط اندازه کریستالی فاز اسپینل در پودر کامپوزیتی و مولایتی خالص در دماهی کلینیناسیون ۶۰۰°C به ترتیب $11\text{nm}/8\text{nm}$ و در دماهی کلینیناسیون ۱۲۰۰°C به ترتیب $8/1\text{nm}$ و $11\text{nm}/15\text{nm}$ می‌باشد. براساس نتایج آنالیز EDS پودر کامپوزیتی دارای توزیع یکنواخت ذرات زیرکونیا در فاز زمینه مولایتی است.

- مقدمه

سرامیک‌های مولایتی دارای خواص مطلوب بسیاری همچون استحکام دمابالا و مقاومت خزشی عالی، پایداری حرارتی و شیمیایی مناسب، ضریب انبساط و هدایت حرارتی پایین و چگالی کم هستند. با این وجود، چرمگی شکست بدن‌های مولایت خالص کم است [۱]. بھبود در خواص مکانیکی بویژه چرمگی شکست سرامیک‌های مولایتی از طریق توزیع یکنواخت ذرات زیرکونیا در فاز زمینه مولایتی قابل دستیابی است. بعلاوه زیرکونیا به عنوان کاهش‌دهنده نقص مرزدانه‌ای و محدودکننده رشد دانه‌ها شناخته شده است [۲]. همچنین زیرکونیا دارای خواص فیزیکی و مکانیکی مناسبی همچون سختی، مقاومت سایشی، مدول الاستیک و دماهی ذوب بالا است [۳]. بنابراین کامپوزیت‌های مولایت- زیرکونیا برای بھبود خواص مکانیکی و بویژه افزایش چرمگی شکست این کامپوزیت‌ها ساخته می‌شوند [۴].

بطور کلی پذیرفته شده است که دو نوع پیش ماده مولایت وجود دارد. نوع I یا تک فاز که مولایتی شدن مستقیم از حالت آمورف را در دماهای کمتر از 950°C نشان می‌دهد. نوع II یا دوفازی که مولایتی شدن را بالای 1200°C بوسیله واکنش آلومینای نوع اسپینل میانی^۱ با سیلیس نشان می‌دهد. نوع پیش ماده مولایت به مواد اولیه و شرایط سنتز وابسته است. نوع خاصی از پیش ماده مولایت دوفازی به عنوان ژل هیدرولیز شده سریع

^۱ transient spinel-type alumina

هشتمین کنگره سرامیک ایران

۱۴-۱۳ اردیبهشت ۱۳۹۵
تهران - دانشگاه علم و صنعت ایران

8th IRANIAN CERAMIC CONGRESS

مجموعه مقالات

یا پیش‌ماده نوع III شناخته می‌شود. این نوع پیش‌ماده تا بالای دمای حدود ۹۵۰°C آمورف است و سپس آلومینای نوع اسپینل بعلاوه سیلیس را تشکیل می‌دهد و در آنها مولایتی شدن در بالای حدود ۱۲۰۰°C مشاهده می‌شود. استحاله‌های پیش‌ماده مولایت نوع II دوفازی شامل دو مرحله است: تحول فازهای آلومینای میانی نوع اسپینل "آلمینا" در دمای حدود کمتر از ۱۲۰۰°C و تشکیل مولایت بوسیله واکنش آلمینا و سیلیس در دمای حدود بالاتر از ۱۲۰۰°C [۵]. بررسی بسیاری از محققین نشان می‌دهد فاز اسپینل به عنوان یک تک جزء یک آلمینوسیلیکات است و نه آلمینا خالص [۶-۷]. سینتیک و مکانیزم کریستالیزاسیون مولایت از پیش ماده نوع II دوفازی در سیستم $\text{Al}_2\text{O}_3-\text{SiO}_2$ بوسیله چندین گروه تحقیقاتی مورد مطالعه قرار گرفته است [۵]. تمام بررسی‌ها نشان می‌دهند که تشکیل و رشد مولایت در پیش ماده‌های آلمینوسیلیکات دوفازی از طریق مکانیزم جوانه‌زنی و رشد صورت می‌گیرد. با این وجود مرحله کنترل‌کننده این فرآیند مورد بحث است [۸]. Wei و Halloran معتقدند که مولایت بوسیله یک واکنش حالت جامد مستقیم بین آلمینای میانی و فاز غیرکریستالی غنی از سیلیس با یک فرآیند متناوباً کنترل شده با فصل مشترک و کنترل شده با نفوذ تشکیل می‌شود و سرعت رشد دانه‌های مولایت از رابطه $t^{-0.63}$ [۹] تبعیت می‌کند. و همکارانش پیشنهاد می‌کنند که تشکیل مولایت از طریق انحلال آلمینیم در سیلیس آمورف با جوانه‌زنی و رشد همزمان مولایت پیش می‌رود [۱۰]. Sundaresan و Aksay سینتیک تشکیل مولایت از پیش‌ماده‌های دوفازی نوع II منتشرشده توسط Wei و Halloran را مجدداً آزمایش کردند. آنها تأکید کردند که سرعت رشد وابسته به زمان گزارش شده، با تحولات کنترل شده فصل مشترک- یا نفوذ- هماهنگ نیست، اما با مکانیزم انحلال و رسوب به خوبی هماهنگ است. براساس نظریه آنها ذرات آلمینا در فاز سیلیس حل شده و یک زمینه آلمینوسیلیکاتی تشکیل می‌شود. وقتی که غلظت آلمینای موجود در زمینه آلمینوسیلیکاتی از یک حد غلظت بحرانی بیشتر می‌شود، جوانه‌های مولایت تشکیل می‌شود [۱۱].

این تحقیق با هدف بررسی اثر ذرات زیرکونیا بر تحولات فازی و ریزساختاری پودر کامپوزیتی مولایت- زیرکونیای سنتز شده به روش هیدروترمال انجام گرفته است. مقایسه نتایج بدست آمده از آنالیزهای مختلف نمونه‌های کامپوزیتی مولایت- زیرکونیا با نتایج آنالیز نمونه‌های مولایت خالص، که در شرایط مشابه فرآیند هیدروترمال سنتز شده‌اند، تأثیر ذرات زیرکونیا را بر تحولات فازی و دمای تشکیل فاز مولایت و همچنین اندازه ذرات مولایت تشکیل شده مشخص می‌کند.

۲- فعالیت‌های تجربی

در این بررسی برای تهیه نمونه‌های کامپوزیتی و مولایتی خالص، از نمک کلرید آلمینیم دهیدراته (AlCl_3) به عنوان منبع تأمین آلمینا و نمک کلرید زیرکونیم دهیدراته (ZrCl_4) به عنوان منبع تأمین زیرکونیا و تتراتیل اورتوسیلیکات (tetraethylorthosilicate, TEOS) به عنوان منبع تأمین سیلیس استفاده شد. برای تهیه نمونه کامپوزیت مولایت- زیرکونیا (۲۰ درصد وزنی) ابتدا با اضافه کردن مقدار ۶/۶ml TEOS به محلول شامل ۸/۶ml آب و ۱۰/۵ml اتانول و ۱۱/۲ml محلول آمونیاک ۲۵٪ سل سیلیسی توسط فرآیند هیدرولیز بدست آمد. سپس سل سیلیسی تهیه شده به محلول آبی ۱ مولار نمک‌های کلرید آلمینیم و کلرید زیرکونیم اضافه شد. مقدار مواد اولیه بگونه‌ای انتخاب شد تا درصد وزنی زیرکونیا در نمونه کامپوزیتی ۲۰ درصد وزنی باشد و همچنین نسبت $\text{SiO}_2/\text{Al}_2\text{O}_3$ به جزء مولایت بصورت ۳ به ۲ حفظ شود. سپس pH مخلوط سل و محلول نمک‌ها با اضافه

هشتمین کنگره سرامیک ایران

۱۳۹۰-۱۴ اردیبهشت
تهران - دانشگاه علم و صنعت ایران

8th IRANIAN CERAMIC CONGRESS

مجموعه مقالات

کردن آمونیاک به صورت قطره‌ای و در حین همزدن در $pH=7$ تنظیم شد. برای تهیه نمونه مولایتی خالص نیز ابتدا سل سیلیسی توسط هیدرولیز $TEOS\ 8/32ml$ در محلول شامل آب، اتانول و آمونیاک با نسبت مشابه نمونه کامپوزیتی بدست آمد. سپس سل سیلیسی تهیه شده به محلول آبی 1 مولار نمک کلرید آلومینیم اضافه شد بطوریکه نسبت Al_2O_3 به SiO_2 بصورت 3 به 2 حفظ شود. هر دو نمونه تهیه شده در مرحله قبل، به منظور اعمال همزمان فشار و دما در ظرف تلقونی ریخته و در دستگاه اتوکلاو مدل D30 ساخت شرکت Clave High Pressure تحت عملیات هیدرورترمال در شرایط یکسان فشار با $P=15bar$ ($T=198^{\circ}C$) و زمان $t=20h$ قرار گرفت. نمونه خارج شده از اتوکلاو دوبار با آب مقطر شسته و سپس در $80^{\circ}C$ به مدت 24 ساعت خشک شد. هر دو نمونه خشک شده، در هاوون به پودر تبدیل شد و پودر بدست آمده در دماهای 600 و 1000 و 1200 و 1300 و $1400^{\circ}C$ به مدت 2 ساعت و با نرخ گرمایش 5 درجه بر دقیقه تحت عملیات کلسینتاسیون قرار گرفت.

آنالیز حرارتی همزمان STA شامل آنالیزهای حرارتی DTA و TGA با نمونه شاهد آلومینیا به منظور تعیین دمای تحولات فازها توسط دستگاه مدل Pirif Diamond ساخت شرکت Perkin Elmer انجام شد. نمونه‌های خشک شده بصورت پودری با نرخ گرمایش 5 درجه بر دقیقه از دمای محیط تا دمای $1400^{\circ}C$ در اتمسفرهوا تحت آنالیز قرار گرفتند. آنالیز تفرق اشعه-X (XRD) با هدف تعیین فازها و تحولات فازی توسط دستگاه SIMENS D500 در گستره زاویه‌ای (20) ، 5 تا 80° با پرتو اشعه X، $CuK\alpha$ (طول موج $1/5488\ nm$)، ولتاژ $30\ Kv$ ، جریان $25mA$ و سرعت اسکن 2 درجه بر دقیقه انجام گرفت. متوسط اندازه کریستالی فازهای تشکیل شده، با استفاده از عرض پیک در نصف شدت بیشینه در آنالیز XRD، توسط رابطه شرمناسبه شد. به منظور بررسی نحوه توزیع ذرات زیرکونیا در فاز زمینه مولایتی آنالیز EDS توسط میکروسکوپ الکترونی روبشی مدل VEGA\TESCAN انجام گرفت. برای تهیه نمونه‌های آنالیز، پودرستنتز شده در استون دیسپرس شد و به منظور شکسته شدن آگلومرهای تشکیل شده به مدت 15 دقیقه در دستگاه التراسونیک، تحت امواج قرار گرفت. از سوسپانسیون تهیه شده قطره‌ای بر روی لام شیشه‌ای چکانده و پس از خشک شدن توسط لایه طلا پوشش داده شد.

۳- نتایج و بحث

شکل(۱الف) و (۱ب) به ترتیب نمودار آنالیز حرارتی DTA/TGA نمونه کامپوزیتی و نمونه مولایتی خالص سنتز شده در فشار $P=15bar$ و زمان $t=20h$ را در محدوده دمای اتاق تا $1400^{\circ}C$ نشان می‌دهد. منحنی TG در شکل(۱الف) و (۱ب) به ترتیب مربوط به نمونه کامپوزیتی و مولایتی کاهاش وزن کل حدود 41% و 39% را در محدوده دمای محیط تا $1400^{\circ}C$ نشان می‌دهد که ناشی از خروج آب‌های مولکولی و نیز آب ساختاری به شکل گروههای هیدروکسیل (OH) است. در هر دو نمونه کاهاش وزن اولیه زیر $100^{\circ}C$ ، همراه با یک پیک گرمائی در منحنی DTA، ناشی از خروج آب جذب شده بصورت فیزیکی است. بالای دمای $100^{\circ}C$ منحنی TG کاهاش وزن پیوسته‌ای را در محدوده دمایی حدود $100^{\circ}C$ تا دمای $400^{\circ}C$ و بدون هیچ پیک گرمائی یا گرمایش در منحنی DTA نشان می‌دهد. این امر خروج گروههای هیدروکسیل با باند ضعیف یا مولکولهای آبی که در حفرات ساختاری جای دارند را مشخص می‌کند. مرحله سوم در محدوده دمایی $400^{\circ}C$ تا $500^{\circ}C$ کاهاش وزنی را همراه با پیک گرمائی در منحنی DTA نشان می‌دهد. این کاهاش نیز ناشی از خروج گروههای OH پیوستی در ساختار، مربوط به Al^{3+} , Si^{4+} و Zr^{4+} است. پس از این مرحله نیز کاهاش وزن پیوسته در منحنی TG تا دمای $1400^{\circ}C$

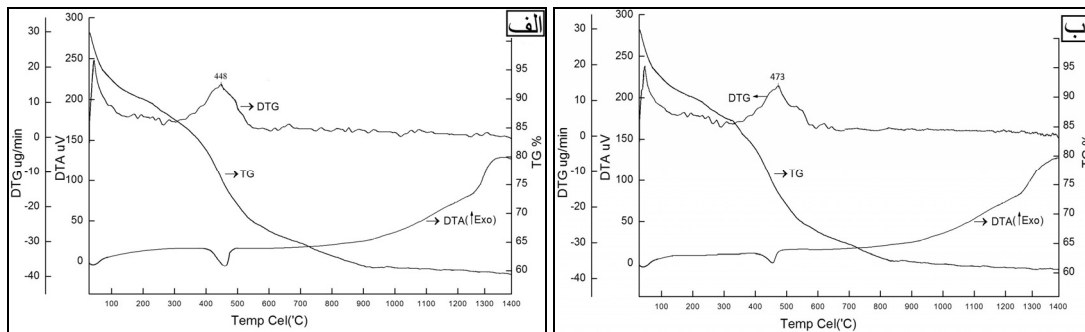
هشتمین کنگره سرامیک ایران

۱۴-۱۳ اردیبهشت ۱۳۹۵
تهران - دانشگاه علم و صنعت ایران

8th IRANIAN CERAMIC CONGRESS

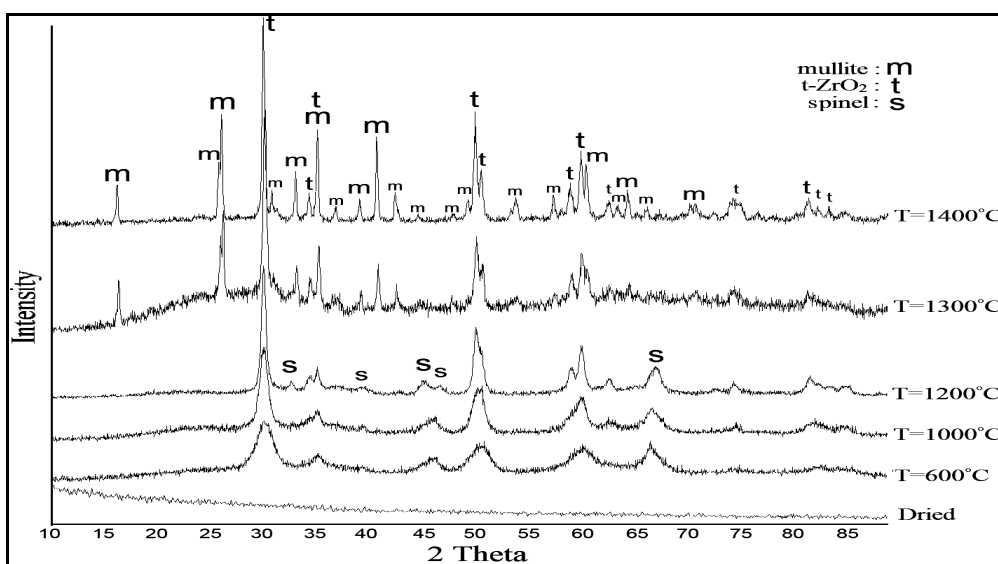
مجموعه
مقالات

مشاهده می شود. این کاهش وزن پیوسته در بازه دمایی $500\text{--}1400^\circ\text{C}$ ناشی از خروج گروه های هیدروکسیل باقی مانده است، که به تدریج از ساختار خارج می شوند.



شکل ۱- نمودار TGA-DTA (الف) کامپوزیت مولایت- زیرکونیا (ب) مولایت خالص، سنتز شده به روش هیدرотرمال در $t=20\text{ h}$, $P=15\text{ bar}$

در هر دو نمودار تغییر شیب منحنی DTA در محدوده دمایی بالای 1200°C ، مربوط به تشکیل فاز مولایت است. نتایج مربوط به آنالیز DTA نمونه سنتز شده در این بررسی، مشابه نتایج آنالیز حرارتی مولایت خالص سنتز شده به روش هیدرورمال از مخلوط سل ها و مخلوط آلوکسیدها است [۱۲]. اختلاف قابل توجه دیگری در منحنی DTA هر دو نمونه به جز اختلاف در ارتفاع پیکها وجود ندارد که مشخص می کند اجزاء پودرها به صورت همگن توزیع شده اند. اگر زیرکونیای آبدار به صورت غیر همگن در یک زمینه آلومینوسیلیکاتی آبدار توزیع شود، دهیدراته شدن آن بطور جداگانه از آنچه در آلمینا رخ می دهد اتفاق می افتد و ممکن است منجر به تشکیل پیک گرمایگر دیگری شود [۱۳].



شکل ۲- الگوی XRD کامپوزیت مولایت- زیرکونیا سنتز شده به روش هیدرورمال در $t=20\text{ h}$, $P=15\text{ bar}$

شکل (۲) الگوی پراش اشعه-X نمونه کامپوزیتی مولایت- زیرکونیا در حالت خشک شده و نیز کلسینه شده را در دماهای 600°C , 1000°C , 1200°C و 1400°C نشان می دهد. طیف XRD نمونه کامپوزیتی خشک شده، قادر هرگونه پیک مشخصه است و مشخص می کند که نمونه خشک شده قادر ساختارهای کریستالی کامل قابل

هشتمین کنگره سرامیک ایران

۱۳۹۰-۱۴ اردیبهشت
تهران - دانشگاه علم و صنعت ایران

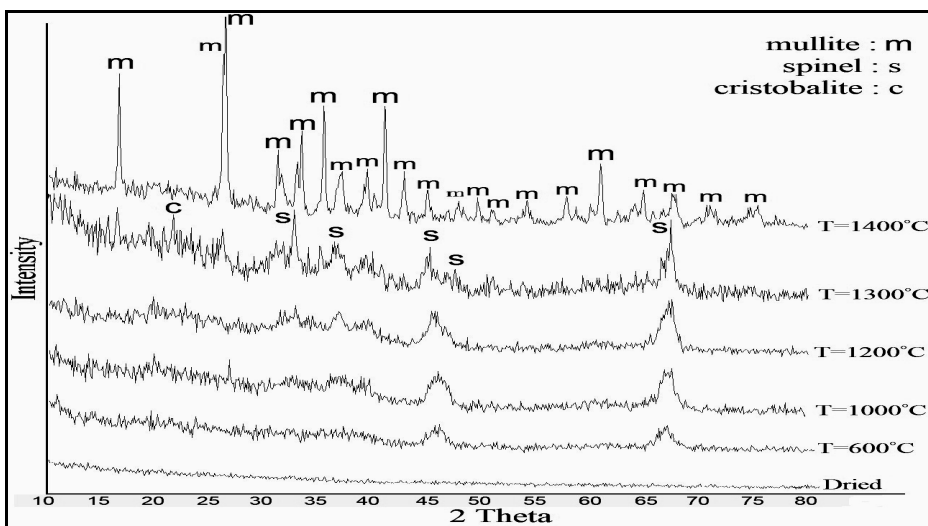
8th IRANIAN CERAMIC CONGRESS

مجموعه مقالات

تشخیص توسط پراش اشعه-X است. طیف نمونه کامپوزیتی کلسینه شده در دمای 600°C شامل پیکهای فازهای کریستالی زیرکونیای تتراگونال (t-ZrO_2) و همچنین اسپینل Al-Si است. نتایج این طیف و همچنین نتایج آنالیز STA ارائه شده در بالا نشان می‌دهند در نمونه با کلسیناسیون در 600°C با خروج گروههای هیدروکسیل و دهیدراته شدن، فاز اسپینل Al-Si و زیرکونیای تتراگونال تشکیل می‌شود. فاز اسپینل تشکیل شده در واقع فاز آ-آلومینا میانی با مقداری سیلیس وارد شده در داخل ساختار آن می‌باشد [۶-۷]. نمونه کامپوزیتی در دمای کلسیناسیون 1000°C و 1200°C شامل فازهای کریستالی اسپینل و زیرکونیای تتراگونال است.

در دمای کلسیناسیون 1200°C فاز مولایت ۳:۲ با ساختار اورتورومبیک، با پیک مشخصه دارای انشقاق در حدود $2\theta=26^{\circ}$ کاملاً مشخص است. این پیکها مربوط به صفحات بلوری (۱۲۰) و (۲۱۰) مولایت ۳:۲ است [۱۴]. براساس نظریه Aksay و همکارش در مورد سینتیک تشکیل مولایت از پیش‌ماده‌های دوفازی، تشکیل مولایت از طریق فرآیند جوانه‌زنی و رشد اتفاق می‌افتد. برطبق این نظریه که اکثر محققین آن را تأیید کرده‌اند ذرات آلمینا در فاز سیلیس حل شده و زمینه آلومنیوسیلیکاتی را تشکیل می‌دهند. با رسیدن غلظت آلمینا موجود در فاز آلومنیوسیلیکاتی به حد بحرانی، کریستالهای مولایت جوانه‌زنی و رشد می‌کنند [۱۱].

شکل (۳) الگوی پراش اشعه-X نمونه مولایتی خالص سنتز شده در حالت خشک شده و نیز کلسینه شده را در دماهای کلسیناسیون 600°C , 1000°C , 1200°C و 1400°C نشان می‌دهد. همانگونه که ملاحظه می‌شود نمونه خشک شده از لحاظ ساختاری آمورف و قادر ساختارهای کریستالی کامل قابل تشخیص توسط پراش اشعه-X است. طیف پراش اشعه-X نمونه مولایتی کلسینه شده در محدوده دمایی بین 600°C تا 1200°C شامل پیکهای مشخصه فاز اسپینل Al-Si است. در دمای کلسیناسیون 1300°C پیکهای دو فاز اسپینل و مولایت ۳:۲ بطور همزمان مشاهده می‌شود. نکته قابل ملاحظه در مقایسه این نتایج با نتایج آنالیز فازی نمونه کامپوزیتی که در شرایط یکسان سنتز شده است، عدم حذف کامل فاز اسپینل و عدم تکمیل واکنش تشکیل مولایت در دمای 1200°C در نمونه مولایتی خالص است. بروز چنین پدیدهای در نمونه مولایتی، ناشی از رشد زیاد ذرات فاز اسپینل با افزایش دمای کلسیناسیون در محدوده دمایی 600°C تا 1200°C است، بطوريکه اندازه بزرگ کریستال‌ها و ذرات این فاز، باعث می‌شود انحلال کامل ذرات به زمان بیشتر و یا دمای کلسیناسیون بالاتر نیاز داشته باشد.



شکل ۳- الگوی XRD مولایت خالص سنتز شده به روش هیدروترمال در $t=20\text{ h}$, $P=15\text{ bar}$

هشتمین کنگره سرامیک ایران

۱۴-۱۳ اردیبهشت ۱۳۹۵
تهران - دانشگاه علم و صنعت ایران

8th IRANIAN CERAMIC CONGRESS

مجموعه مقالات

براساس نظریه Aksay و همچنین نتایج مربوط به تحقیقات در مورد مکانیزم کریستالیزاسیون مولایت، به دام افتادن ذرات اسپینل انحلال نیافته در درون ذرات مولایت تشکیل شده باعث می‌شود، انحلال بخش باقی مانده نیاز به فرآیند نفوذ شیمیایی بلندبرد داشته و سختتر صورت گیرد[۱۱، ۲۰]. در طیف XRD نمونه در دمای 1300°C پیک مشخصه در حدود $2\theta=22^{\circ}$ مربوط به فاز کریستوبالیت مشاهده می‌شود. عدم واکنش کامل فاز سیلیس آمورف با اسپینل برای تشکیل مولایت، باعث می‌شود فاز سیلیس آمورف باقی مانده، در حین سرد کردن نمونه از دمای بالا، بصورت کریستالیزه شود. در واقع رشد زیاد کریستال‌های اسپینل با افزایش دمای کلسیناسیون در نمونه مولایتی، باعث شده است که تا در دمای 1300°C ذرات آلومینا بطور کامل انحلال پیدا نکرده باشند، در حالیکه در نمونه کامپوزیت وجود ذرات زیرکونیا مانع از رشد کریستال‌های اسپینل شده و این امر باعث می‌شود انحلال ذرات اسپینل ریز، به راحتی در دمای کمتر از 1300°C صورت گرفته و واکنش تشکیل مولایت تکمیل می‌شود. مقادیر مربوط به متوسط اندازه کریستالی فاز اسپینل در نمونه کامپوزیتی و مولایتی که در جدول (۱) ارائه شده است، این موضوع را کاملاً تأیید می‌کند. از این‌رو مدت زمان طولانی‌تر کلسیناسیون و یا دماهای کلسیناسیون بالاتر، برای تکمیل واکنش نیاز است[۸]. بطوریکه در این مورد با افزایش دمای کلسیناسیون تا 1400°C واکنش تشکیل مولایت تکمیل می‌شود(شکل ۳).

جدول (۱) مقادیر متوسط اندازه کریستالی فازهای اسپینل و مولایت را در نمونه کامپوزیتی و مولایتی سنتز شده در شرایط مشابه و در دمای کلسیناسیون مختلف نشان می‌دهد. متوسط اندازه کریستالی فاز اسپینل در پودر کامپوزیتی و مولایتی خالص در دمای کلسیناسیون 1200°C به ترتیب $8/1\text{ nm}$ و $8/7\text{ nm}$ و در دمای کلسیناسیون 1400°C به ترتیب $1/1\text{ nm}$ و $1/8\text{ nm}$ می‌باشد. با توجه به داده‌های ارائه شده، افزایش زیاد متوسط اندازه کریستالی فاز اسپینل با افزایش دمای کلسیناسیون، در نمونه مولایتی خالص، کاملاً مشخص است. در حالیکه در نمونه کامپوزیتی این روند افزایش بسیار کند است.

جدول ۱- متوسط اندازه کریستالی در کامپوزیت (M-Z) و مولایت خالص (M) سنتز شده به روش هیدروترمال در $t=20\text{ h}$, $P=15\text{ bar}$

متوسط اندازه کریستالی (nm)					
مولایت		اسپینل		فاز	
M	M - Z	M	M - Z	پودر (°C)	
...	...	8/7	7/1	...	600
...	...	49/3	14/5	...	1000
...	...	115	8/1	...	1200
40/8	19/3	35/1	1300

مقایسه نتایج مربوط به دو نمونه نشان می‌دهد که وجود ذرات زیرکونیا، دلیل رشد کم کریستال‌های اسپینل در نمونه کامپوزیتی است. در محدوده دمایی 1200°C تا 1300°C کریستال‌های کوچک اسپینل تشکیل شده در نمونه کامپوزیتی، به راحتی در فاز زمینه حل شده و فاز مولایت در دمای 1300°C بطور کامل تشکیل می‌شود. در حالیکه در نمونه مولایتی خالص این کریستال‌ها به شدت رشد کرده و بزرگ می‌شوند و در نتیجه در دمای 1300°C بخشی از این فاز بصورت حل نشده باقی می‌ماند(شکل ۳).

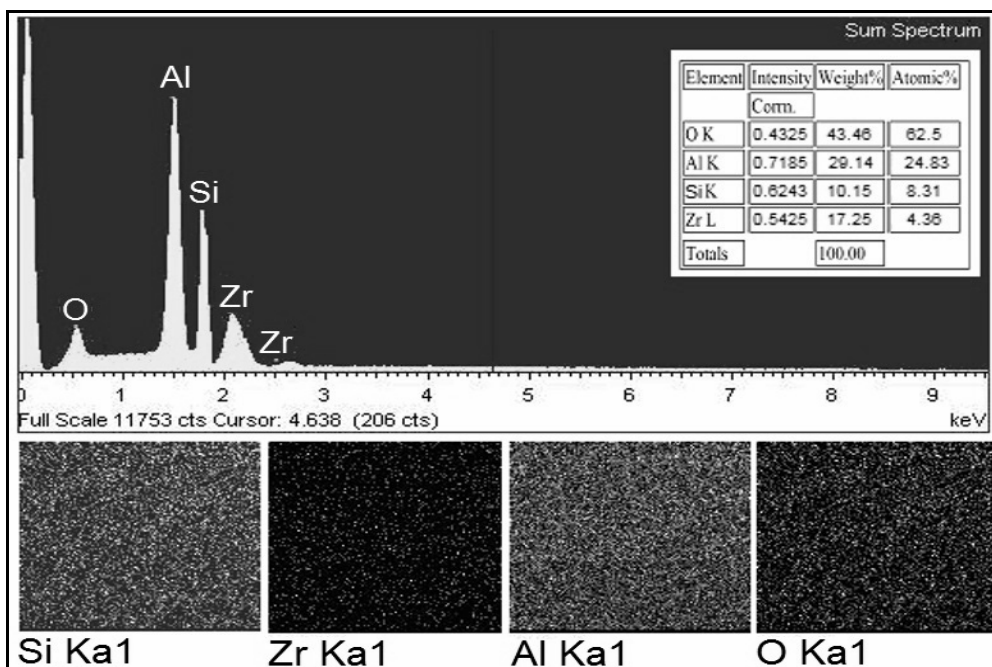
هشتمین کنگره سرامیک ایران

۱۳۹۰-۱۴ اردیبهشت
تهران - دانشگاه علم و صنعت ایران

8th
IRANIAN CERAMIC CONGRESS

مجموعه مقالات

شکل(۴) آنالیز EDS و نقشه نقطه‌ای پرتو-X نمونه کامپوزیتی مولایت-زیرکونیا سنتز شده در فشار $P=15\text{ bar}$ و $t=20\text{ h}$ و دمای کلسیناسیون 1300°C را نشان می‌دهد. براساس مقادیر درصد وزنی و اتمی عناصر ثبت شده در آنالیز EDS، درصد وزنی مولایت به زیرکونیا به صورت حدود ۷۷٪/۲۳٪ وزنی زیرکونیا محاسبه شد. مشاهده می‌شود که این مقادیر به درصدهای محاسبه شده توسط مواد اولیه مصرفی برای سنتز نمونه کامپوزیتی ($80\%/\text{وزنی مولایت}-20\%/\text{وزنی زیرکونیا}$) نزدیک است. نقشه نقطه‌ای عناصر موجود در نمونه کامپوزیتی نیز توزیع یکنواختی از عنصر زیرکونیم و در نتیجه زیرکونیا را در زمینه مولایتی نشان می‌دهد.



شکل ۴ - آنالیز EDS و نقشه نقطه‌ای نمونه کامپوزیتی سنتز شده در شرایط $P=15\text{ bar}$, $t=20\text{ h}$, کلسینه شده در 1300°C

۴-نتیجه‌گیری

پودر کامپوزیت مولایت-زیرکونیا و همچنین مولایت خالص به روش سنتز هیدروترمال و با استفاده از کلرید آلومینیم، TEOS و کلرید زیرکونیم تهیه شدند. فاز مولایت α -آلمینای نوع اسپیئل میانی، در نمونه کامپوزیتی در دمای کلسیناسیون 1300°C و در نمونه مولایتی خالص در دمای کلسیناسیون 1400°C تشکیل شد. در پودر کامپوزیتی ذرات زیرکونیا عامل اصلی رشد کم ذرات فاز اسپیئل میانی و کاهش دمای تشکیل فاز مولایت است. در حالیکه در نمونه مولایتی رشد زیاد ذرات فاز اسپیئل با افزایش دمای کلسیناسیون در محدوده دمایی 600 تا 1200°C باعث می‌شود انحلال کامل این ذرات به زمان بیشتر و یا دمای کلسیناسیون بالاتر نیاز داشته باشد. نقشه نقطه‌ای عناصر موجود در نمونه کامپوزیتی نیز توزیع یکنواختی از عنصر زیرکونیم و در نتیجه زیرکونیا را در زمینه مولایتی نشان داد.

۵-مراجع

1. H. Schneider, J. Schreuer, B. Hildmann, "Structure and properties of mullite-A review", J. European Ceramic Society 28: 329–344(2008)

هشتمین کنگره سرامیک ایران

۱۴-۱۳ اردیبهشت ۱۳۹۰
تهران - دانشگاه علم و صنعت ایران

8th IRANIAN CERAMIC CONGRESS

مجمعه
مقالات

2. R. Gopi, K. Chandran, C. Patil, "Combustion synthesis and properties of mullite-zirconia composites", *J. Materials Science* 31: 5773-5779 (1996).
3. C. Kaya, J. He, X. Gu, E. Butler, "Nanostructured ceramic powders by hydrothermal synthesis and their applications", *J.Microporous and Mesoporous Materials* 54: 37-49 (2002).
4. S. Shukla, S. Seal, R. Vanfleet, "Sol-gel synthesis and phase evolution behavior of sterically stabilized nanocrystalline zirconia", *J. Sol-Gel Science and Technology* 27: 119-136 (2003).
5. H. Schneider, S. Komarneni, "Mullite", (Wiley, New York, 2005).
6. A. Chakraborty, S. Das, "Al-Si spinel phase formation in diphasic mullite gels", *J.Ceramics International* 29: 27-33(2003).
7. H. Schneider, D. Voll, B. Saruhan, M. Schmticker, "Constitution of the γ -alumina phase in chemically produced mullite precursors", *J. European Ceramic Society* 13: 441-448 (1994).
8. E. Tkalec, H. Ivankovic, R. Nass, H. Schmidt, "Crystallization kinetics of mullite formation in diphasic gels containing different alumina components", *J.European Ceramic Society* 23: 1465-1475 (2003).
9. W. Wei, J. Halloran, "Transformation kinetics of diphasic aluminosilicate gels", *J.Am. Ceram. Soc* 71: 581-587 (1988).
10. M. Sacks, K. Wang, G. Scheiffele, N. Bozkurt, "Activation energy for mullitization of a alumina/silica microcomposite particles", *J. Am. Ceram. Soc.* 79: 571-573 (1996).
11. S. Sundaresan, I. Aksay, "Mullitization of diphasic aluminosilicate gels", *J.Am. Ceram. Soc* 74: 2388-2392 (1991).
12. M. Suzuki, S. Hiraishi, M. Yoshimura, S. Somiya, "Preparation of mullite powder by calcination of the products hydrothermally treated from mixed alkoxide or mixed sol", *Yogyo Kyokaishi*. 92: 320-327 (1984).
13. S. Rajendran, H. Rossell, "Coprecipitation-derived mullite and mullite-zirconia composites", *J. Materials Science* 26: 5815 5822 (1991).
14. C. Osawa, C. Bertan, "Mullite formation from mixtures of alumina and silica sols: mechanism and pH effect", *J.Braz. Chem. Soc* 16: 251-258 (2005).